

## بررسی تأثیر ترکیب روش‌های پیش‌بینی بر کاهش اثر شلاق چرمی در یک زنجیره تأمین چهار سطحی در شرایط تقاضای متغیر

مرزبان نجفی<sup>۱</sup>، مریم دانشمندهر<sup>۲\*</sup>، رامین صادقیان<sup>۳</sup>

۱- کارشناس ارشد مهندسی صنایع، دانشگاه پیام نور شمیرانات، تهران، ایران

۲- استادیار، دانشگاه آزاد اسلامی واحد لاهیجان، گروه مهندسی صنایع، لاهیجان، ایران

۳- دانشیار، دانشگاه پیام نور مرکز شمیرانات، گروه مهندسی صنایع، تهران، ایران

رسید مقاله: ۱۵ خرداد ۱۳۹۶

پذیرش مقاله: ۳۱ خرداد ۱۳۹۸

### چکیده

اثر شلاق چرمی که در زنجیره اتفاق می‌افتد، باعث ناکارآمدی‌هایی همچون موجودی اضافی و سفارشات عقب افتاده در طول زنجیره می‌گردد. انجام پیش‌بینی مناسب می‌تواند تا حدود زیادی این مشکلات را مرتفع سازد. با توجه به اینکه زنجیره تأمین دارای سطوح مختلفی می‌باشد، لازم است پیش‌بینی در هر سطحی از زنجیره انجام شود. این پژوهش به بررسی مسأله‌ی ترکیب بهینه پیش‌بینی برای کاهش اثر شلاق چرمی در زنجیره‌ی تأمین چهار سطحی در شرایط تقاضای متغیر می‌پردازد. برای این منظور یک زنجیره‌ی تأمین چهار سطحی در نظر گرفته شده است که در هر یک از سطوح آن، یکی از روش‌های میانگین متحرک، هموارسازی نمایی، رگرسیون خطی و شبکه‌ی عصبی مصنوعی پرسپترون چند لایه را برای پیش‌بینی مورد استفاده قرار می‌دهد. برای نیل به این امر نخست نسبت به شبیه‌سازی زنجیره‌ی تأمین مورد نظر اقدام صورت پذیرفت و سپس نتایج با استفاده از روش تحلیل واریانس مورد آزمون قرار گرفت. از بین ترکیبات مختلف، ترکیب روش‌های پیش‌بینی با کم‌ترین اثر شلاق چرمی به دست آمده است که عبارتند از: میانگین متحرک، شبکه عصبی، هموارسازی نمایی و رگرسیون خطی به ترتیب برای سطح‌های خرده‌فروش، عمده‌فروش، تولیدکننده و تامین‌کننده و ترکیبات دیگر مطلوبیت کمتری دارند.

**واژگان کلیدی:** تقاضای متغیر، روش‌های پیش‌بینی، زنجیره‌ی تأمین چهار سطحی، سیستم نقطه سفارش، اثر شلاق چرمی.

### ۱ مقدمه

پیش‌بینی روند تقاضای متغیر برای اتخاذ سیاست‌های مقتضی و مناسب اهمیت فراوانی دارد. به دلیل روند پرنوسان و غیرخطی تقاضا و متغیرهای موثر بر آن، قابلیت روش‌های پیش‌بینی برای پیش‌بینی تقاضای متغیر در مطالعات مختلف نمایان شده است. موضوع پیش‌بینی تقاضا از موضوعات بسیار مهم در مدیریت زنجیره‌های تأمین به شمار

\* عهده‌دار مکاتبات

آدرس الکترونیکی: m.daneshmand@liau.ac.ir

می‌رود. عدم قطعیت مساله‌ای است که باعث پیچیدگی فعالیت‌ها در زنجیره‌تامین شده است. بدین معنا که هرچه احتمال پیش‌بینی نادرست تقاضا، تأخیر در دریافت مواد اولیه و قطعات، خرابی ماشین‌آلات بیش‌تر باشد احتمال زیادی وجود دارد که تولید محصول دچار مشکل گردد. چنین مشکلی زمانی به‌وجود می‌آید که هر یک از اعضای درگیر در زنجیره‌تامین به صورت مستقل عمل کنند و هماهنگی بین این اعضا وجود نداشته باشد. نمونه چنین بی‌کفایتی پدیده اثر شلاقی است که از افزایش تغییرپذیری نرخ سفارش‌ها، وقتی سفارش‌ها از مراحل یک زنجیره‌تامین به سوی تولیدکنندگان و تأمین‌کنندگان مواد اولیه در حرکت است، ناشی می‌شود. این پدیده منجر به برنامه‌های تولید ناپایدار، افزایش و کاهش ظرفیت تولید، هزینه‌های مازاد نیروی کار و غیره می‌گردد. به طور خلاصه اثر شلاق چرمی به این قانون اشاره دارد که نوسانات تقاضای آخرین سطح مشتری در زنجیره‌ی تامین با حرکت در طول مراحل زنجیره تامین افزایش می‌یابد [۱]. امروزه با گسترش فضای رقابتی توجه به مدیریت زنجیره‌تامین به یک موضوع اساسی در سازمان‌های تجاری تبدیل شده است، به گونه‌ای که تمامی فعالیت‌های سازمان‌ها را تحت تأثیر قرار داده است [۲]. بنابر تعریف زنجیره‌تامین، هدف اصلی از هر زنجیره برآوردن نیازهای مشتریان است و لذا آگاهی حلقه‌های زنجیره‌تامین از تقاضای آینده از اهمیت زیادی برخوردار است. پیش‌بینی در واقع مبنایی برای کلیه برنامه‌ریزی‌های زنجیره‌تامین است [۳]. با شناخت تأثیر روش‌های پیش‌بینی بر اثر شلاق چرمی، مطالعات گسترده‌ای برای شناسایی و بررسی این اثر انجام گرفت.

هدف از این مقاله بررسی تأثیر ترکیب روش‌های پیش‌بینی بر کاهش اثر شلاق چرمی در یک زنجیره‌تامین چهار سطحی در شرایط تقاضای متغیر می‌باشد. در بخش‌های بعدی مقاله ابتدا مروری بر تحقیقات انجام گرفته در این زمینه صورت می‌گیرد. پس از آن مساله مورد بررسی این تحقیق به طور کامل معرفی و در نهایت مراحل اجرایی تحقیق و نتایج حاصل از آن ارائه می‌شود.

## ۲ پیشینه تحقیق

زنجیره‌تامین، نگرشی است که در سال‌های اخیر مورد توجه سازمان‌ها و شرکت‌ها قرار گرفته است. در این نگرش کلیه اجزا که برای ارائه محصول و یا خدمت به مشتری در کنار هم قرار دارند، مورد توجه قرار می‌گیرد و سعی می‌شود تصمیمات راهبردی به گونه‌ای اتخاذ گردد که کل زنجیره‌تامین در مقابل زنجیره‌های رقیب از کارایی و اثر بخشی بیش‌تری برخوردار باشد [۴]. یکی از موضوعات مورد توجه محققان در زنجیره‌های تأمین، مساله اثر شلاق چرمی و عوامل موثر بر آن بوده است. چن و همکاران به بررسی و مقایسه تأثیر دو روش هموارسازی نمایی و میانگین متحرک بر اثر شلاق چرمی در یک زنجیره‌تامین ساده‌ی دو سطحی شامل یک خرده‌فروش و یک تولیدکننده پرداختند [۵]. چن و همکاران همچنین به بررسی اثرات دو عامل پیش‌بینی تقاضا و زمان تدارک سفارش بر اثر شلاق چرمی در یک زنجیره‌تامین دو سطحی پرداختند و نتیجه آن را به زنجیره‌های چند سطحی تعمیم دادند [۶]. ژانگ تأثیر روش‌های پیش‌بینی بر اثر شلاق چرمی را در یک سیستم تأمین موجودی ساده مورد بررسی قرار دادند و به این نتیجه رسیدند که روش‌های پیش‌بینی بر اثر شلاق چرمی تأثیر دارند [۷]. کربنائو و همکاران تأثیر کاربرد روش‌های یادگیرنده، نظیر شبکه‌های عصبی، شبکه‌های عصبی

بازگشتی و ماشین بردارهای پشتیبان را برای پیش‌بینی بر اثر شلاق چرمی بررسی و آن را با روش‌های سنتی نظیر میانگین متحرک و رگرسیون خطی مقایسه کردند [۸]. بایراکتار و همکاران به بررسی تاثیر روش هموارسازی نمایی بر اثر شلاق چرمی در مدیریت زنجیره تأمین الکترونیک پرداخته‌اند. آن‌ها یک برنامه‌ی شبیه‌سازی برای انتخاب بهترین پارامترهای هموارسازی نمایی در این زنجیره توسعه دادند [۹]. بارلاس و همکاران در تحلیل خود یکی از ریشه‌های ساختاری اثر شلاق چرمی در زنجیره‌های تأمین را استفاده ناهماهنگ سطوح مختلف زنجیره از روش‌های پیش‌بینی عنوان کردند [۱۰]. باکمستر و همکاران زنجیره‌های تأمین را برای تجزیه و تحلیل اثر شلاق چرمی مورد مطالعه قرار دادند [۱۱]. وانگ و همکاران در تحقیق خود یافته‌های تحقیقات تجربی و آزمایشی با نتایج تحلیلی و شبیه‌سازی شده را مقایسه کردند [۱۲].

در ایران نیز مطالعات گسترده‌ای در زمینه‌ی مدیریت زنجیره تأمین و همچنین بررسی اثر شلاق چرمی صورت گرفته است. نجفی و همکاران تاثیر روش‌های پیش‌بینی میانگین متحرک، هموارسازی نمایی و رگرسیون خطی بر اثر شلاق چرمی در یک زنجیره‌ی چهار سطحی را در دو حالت تقاضای ثابت و خطی بررسی کردند [۱۳]. موحدی و همکاران به تحلیل نقش عوامل مالی در اثر شلاقی در زنجیره تأمین دو سطحی پرداختند [۱۴]. اسمعیلی و همکاران در مقاله‌ی خود با عنوان «مقایسه تاثیر روش‌های مختلف پیش‌بینی بر اثر شلاقی در زنجیره تأمین» تاثیر روش‌های مختلف پیش‌بینی بر اثر شلاقی در زنجیره تأمین را مقایسه کردند [۱۵]. رضوی و همکاران به بررسی تاثیر شلاق چرمی در زنجیره تأمین سه سطحی پرداختند [۱۶]. عظیمی در پژوهشی روش‌هایی برای کاهش اثر شلاقی در زنجیره تأمین شرکت ایران خودرو از طریق پیش‌بینی مقدار صحیح تقاضای مشتریان با استفاده از تکنیک‌های یادگیری ماشین (الگوریتم‌های شبکه عصبی و ماشین بردار پشتیبان) ارایه داد که در این روش‌ها با استفاده از تقاضای سابق مشتری، تقاضای آینده او پیش‌بینی شده است [۱۷]. لطفی و همکاران تاثیر شلاق چرمی در زنجیره تأمین چهار سطحی را مورد مطالعه قرار دادند [۱۸]. بدخشان و پیشوایی به بررسی اثر شلاق چرمی و شلاق چرمی جریان نقدینگی در یک زنجیره تأمین چهار سطحی پرداختند. نتایج نشان می‌دهد که کاهش زمان تدارک تنها باعث کاهش اثر شلاق چرمی می‌شود؛ درحالی که تسهیم اطلاعات نرخ فروش علاوه بر اثر شلاق چرمی اثر شلاق چرمی جریان نقدینگی را نیز کاهش می‌دهد [۱۹]. اهم تحقیقات انجام گرفته به صورت جدول مقایسه‌ای، در جدول ۱ آمده است.

در این جدول تحقیقات مرتبط با موضوع تحقیق فعلی آمده است تا وجه تمایز این تحقیق با تحقیقات مشابه به سهولت قابل مشاهده باشد. با در نظر گرفتن مساله مورد بحث در این مقاله شکاف‌های تحقیقاتی ذیل مورد توجه است:

(۱) تحقیقات زیادی برای تعیین ترکیب بهینه روش‌های پیش‌بینی در زنجیره‌های تأمین با در نظر گرفتن سطوح مختلف برای زنجیره انجام شده است تا این روش‌ها در هر یک از سطوح طوری در نظر گرفته شود که اثر شلاق چرمی را در طول زنجیره کاهش دهد؛ ولی این تحقیقات در شرایط تقاضای ثابت انجام شده است و با توجه به ماهیت تقاضا که در دنیای واقعی متغیر است و می‌تواند تغییرات ناگهانی تقاضا کل زنجیره را دچار التهاب سازد، بررسی‌ای صورت نگرفته است.

(۲) در بسیاری از تحقیقات انجام شده، زنجیره تامین را سه سطحی در نظر گرفته‌اند؛ لذا در این تحقیق در شرایطی که تقاضا متغیر است ترکیبی از روش‌های پیش‌بینی برای سطوح زنجیره تامین چهار سطحی ارائه می‌شود تا کم‌ترین اثر شلاق چرمی در طول زنجیره ایجاد شود و التهاب عناصر زنجیره تا حد امکان کمینه گردد.

(۳) نوع سیستم سفارش دهی آن سیستم نقطه سفارش می‌باشد که در بسیاری از تحقیقات به این مهم پرداخته نشده است.

**جدول ۱.** اهم تحقیقات انجام شده در زمینه‌ی روش‌های پیش‌بینی در زنجیره‌تأمین

تعداد سطوح زنجیره	نوع سفارش	توجه به کاهش اثر شلاق چرمی	روش‌های پیش‌بینی	نوع تقاضا	( سال ) نویسنده
×	×	✓	هموارسازی نمایی و میانگین متحرک	تقاضا معلوم	Zhang Xiaolong (2004) [۷]
دو سطحی	دوره سفارش	✓	هموارسازی نمایی	تقاضا خطی	Bayraktar et al (2008) [۹]
سه سطحی	×	✓	×	×	Barlas (2011) [۱۰]
سه سطحی	×	✓	×	تقاضا ثابت	Buchmeister et al (2014) [۱۱]
×	×	✓	×	×	Xun Wang et al (2016) [۱۲]
سه سطحی	×	✓	میانگین متحرک، هموارسازی نمایی و رگرسیون خطی	تقاضا ثابت و خطی	نجفی و همکاران (۱۳۸۶) [۱۳]
چهار سطحی	دو طرفی	✓	میانگین متحرک، هموارسازی نمایی، شبکه عصبی و رگرسیون خطی	تقاضا ثابت و خطی	لطفی و همکاران (۱۳۹۴) [۱۸]
چهار سطحی	سیستم نقطه سفارش	✓	هموارسازی نمایی، رگرسیون خطی، میانگین متحرک، شبکه عصبی	تقاضا متغیر	تحقق پیش رو

### ۳ بیان مساله

یکی از اساسی‌ترین موضوعات مطرح در زنجیره‌ی تامین که همواره دغدغه‌های اصلی مدیریت آن محسوب می‌شود، بحث پیش‌بینی تقاضا است. شرکت‌های عضو زنجیره‌ی تامین برای حذف هزینه اضافی انبارداری و نگهداری محصولات اضافی، سعی در پیش‌بینی تقاضای مشتریان دارند؛ اما اثر شلاقی، که افزایش مقدار تقاضای مشتریان با گذر از هر عضو زنجیره است، این پیش‌بینی را به چالش می‌کشد. در این پژوهش بررسی تأثیر ترکیب روش‌های پیش‌بینی بر کاهش اثر شلاق چرمی در یک زنجیره‌تأمین چهار سطحی در شرایط تقاضای متغیر، مورد

توجه قرار گرفته است. نحوه‌ی چیدمان ترکیب‌های پیش‌بینی موجب کاهش اثر شلاق چرمی در طول زنجیره می‌شود. سفارش‌ها از زنجیره‌تأمین به سوی تولیدکنندگان و تأمین‌کنندگان مواد اولیه در حرکت است و عدم اطلاع دقیق از میزان تقاضا، موجب افزایش اثر شلاق چرمی در طول زنجیره می‌شود؛ بنابراین هرچه احتمال پیش‌بینی میزان تقاضا در هر یک از سطوح زنجیره به واقعیت نزدیک‌تر باشد، موجب کاهش اثر شلاق چرمی شده و میزان سفارشات نیز با میزان تقاضا برابر می‌شود و تمامی این عوامل موجب کاهش هزینه‌های اضافی، بهبود میزان تولید و هم‌چنین استفاده‌ی درست از نیروی کار می‌گردد.

برای این منظور و با فرض اینکه هر روشی که برای یکی از سطوح زنجیره به‌عنوان روش پیش‌بینی تقاضا انتخاب شود برای سطح دیگر قابل انتخاب نمی‌باشد، با فرض چهار سطحی بودن زنجیره، تعداد ۲۴ سناریو قابل بررسی می‌باشد (۴ فاکتوریل حالت). روش‌های میانگین متحرک، رگرسیون خطی، هموارسازی‌نمایی و شبکه عصبی پرسپترون چندلایه برای پیش‌بینی تقاضای هر سطح از زنجیره‌تأمین در نظر گرفته شده‌است، با این شرط که از روش تکراری برای هر سطح استفاده نشود. ترکیبات مختلف روش‌های پیش‌بینی در مراحل زنجیره‌تأمین چهار سطحی در جدول ۲ آمده است.

برای نمونه در سناریوی یک، خرده فروش، عمده فروش، تولیدکننده و تأمین‌کننده به ترتیب از روش‌های رگرسیون خطی، هموارسازی‌نمایی، میانگین متحرک و شبکه‌ی عصبی چند لایه استفاده می‌کنند.

## ۴ روش‌های پیش‌بینی

### ۴-۱ پیش‌بینی با استفاده از روش رگرسیون

در روش تحلیل رگرسیون خطی، یک رابطه خطی بین متغیر وابسته و یک یا چند متغیر مستقل برقرار می‌گردد. سپس با داشتن رابطه خطی و مقادیر آتی متغیرهای مستقل، می‌توانیم مقادیر آتی متغیر وابسته را پیش‌بینی کنیم. در رگرسیون خطی اگر  $Y$  را متغیر وابسته و  $X$  را متغیر مستقل در نظر بگیریم، می‌توان معادله خط رگرسیون را به صورت مقابل نوشت:

$$y = ax + b \quad (1)$$

در این معادله  $a$  و  $b$  را پارامترهای خط گفته و مانند هر پارامتر دیگری می‌توان آن‌ها را برآورد کرد. برآورد کردن پارامترهای خط رگرسیون: روش‌های متفاوتی برای برآورد کردن دو پارامتر  $a$  و  $b$  وجود دارد. یکی از این روش‌ها، روش «کم‌ترین مربعات خطا» است که در آن این دو پارامتر به روش زیر برآورد می‌شود:

$$\alpha = \frac{\overline{xy} - \bar{x} \cdot \bar{y}}{\overline{x^2} - \bar{x}^2}, \quad \hat{b} = \bar{y} - \alpha \bar{x} \quad (2)$$

جدول ۲. ترکیبات مختلف روش‌های پیش‌بینی در مراحل زنجیره‌تأمین چهار سطحی

خرده فروش	عمده فروش	تولید کننده	تأمین کننده
سناریو ۱	رگرسیون خطی	هموارسازی نمایی	میانگین متحرک
سناریو ۲	رگرسیون خطی	هموارسازی نمایی	شبکه عصبی
سناریو ۳	رگرسیون خطی	شبکه عصبی	میانگین متحرک
سناریو ۴	رگرسیون خطی	میانگین متحرک	هموارسازی نمایی
سناریو ۵	رگرسیون خطی	میانگین متحرک	شبکه عصبی
سناریو ۶	رگرسیون خطی	شبکه عصبی	میانگین متحرک
سناریو ۷	هموارسازی نمایی	رگرسیون خطی	میانگین متحرک
سناریو ۸	هموارسازی نمایی	رگرسیون خطی	شبکه عصبی
سناریو ۹	هموارسازی نمایی	شبکه عصبی	میانگین متحرک
سناریو ۱۰	هموارسازی نمایی	میانگین متحرک	شبکه عصبی
سناریو ۱۱	هموارسازی نمایی	میانگین متحرک	رگرسیون خطی
سناریو ۱۲	هموارسازی نمایی	شبکه عصبی	میانگین متحرک
سناریو ۱۳	شبکه عصبی	هموارسازی نمایی	میانگین متحرک
سناریو ۱۴	شبکه عصبی	هموارسازی نمایی	رگرسیون خطی
سناریو ۱۵	شبکه عصبی	میانگین متحرک	رگرسیون خطی
سناریو ۱۶	شبکه عصبی	رگرسیون خطی	هموارسازی نمایی
سناریو ۱۷	شبکه عصبی	رگرسیون خطی	میانگین متحرک
سناریو ۱۸	شبکه عصبی	میانگین متحرک	هموارسازی نمایی
سناریو ۱۹	میانگین متحرک	شبکه عصبی	رگرسیون خطی
سناریو ۲۰	میانگین متحرک	شبکه عصبی	هموارسازی نمایی
سناریو ۲۱	میانگین متحرک	هموارسازی نمایی	رگرسیون خطی
سناریو ۲۲	میانگین متحرک	رگرسیون خطی	شبکه عصبی
سناریو ۲۳	میانگین متحرک	رگرسیون خطی	شبکه عصبی
سناریو ۲۴	میانگین متحرک	هموارسازی نمایی	رگرسیون خطی

#### ۴-۲ پیش‌بینی با استفاده از روش هموارسازی نمایی

در این روش به داده‌های دورهای مختلف، وزن‌های متفاوتی داده می‌شود که این وزن‌ها از یک تصاعد هندسی نزولی پیروی می‌کنند. در این روش به مقدار تقاضای آخرین دور، حداکثر وزن داده می‌شود و هر چه به دوره‌های عقب‌تر برگردیم، وزن‌ها به صورت نمایی کاهش می‌یابند. در این روش تمام دوره‌ها در محاسبه پیش‌بینی در نظر گرفته می‌شوند. در روش هموارسازی نمایی داریم:

$$F_{t+1} = \alpha A_t + (1 - \alpha) F_t \tag{۳}$$

که در آن:

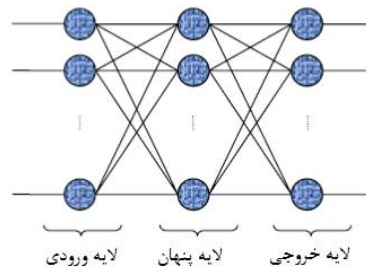
$A_t$ : مقدار واقعی تقاضا در دور  $t$

$F_t$ : مقدار پیش‌بینی تقاضا در دور  $t$

$\alpha$ : مقدار ثابت  $0 < \alpha < 1$

### ۴-۳ پیش‌بینی با استفاده از روش شبکه عصبی

یکی از ساده‌ترین و در عین حال کارآمدترین چیدمان‌های پیشنهادی برای استفاده در مدل‌سازی عصب‌های واقعی، مدل پرسپترون چندلایه می‌باشد که از یک لایه ورودی، یک یا چند لایه پنهان و یک لایه خروجی تشکیل یافته است. در این ساختار، تمام نرون‌های یک لایه به تمام نرون‌های لایه بعد متصلند. این چیدمان اصطلاحاً یک شبکه با اتصالات کامل را تشکیل می‌دهد. شکل ۱ شمای یک شبکه پرسپترون چند لایه را نشان می‌دهد. به سادگی می‌توان استنباط نمود که تعداد نرون‌های هر لایه، مستقل از تعداد نرون‌های دیگر لایه‌ها می‌باشد. به طور معمول این شبکه‌ها شامل مجموعه‌ای از نرون‌های پایه می‌باشند که تشکیل دهنده لایه ورودی، یک یا چند لایه پنهان و یک لایه خروجی می‌باشند [۲۰]. ثابت شده است که هر تابع می‌تواند حداکثر با سه لایه پنهان تقریب زده شود [۲۱].

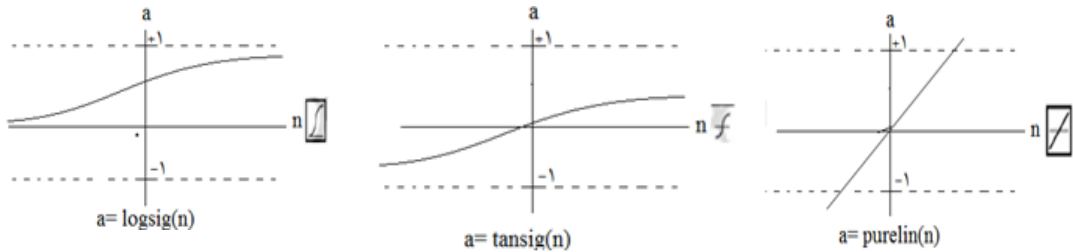


شکل ۱. پرسپترون چند لایه با اتصالات کامل

از میان روش‌های مختلف آموزش، الگوریتم لوبز-مارکوارت، به دلیل همگرایی سریع‌تر در آموزش شبکه‌های با اندازه متوسط، کاربرد بیشتری دارد. این روش سریع‌ترین روش شبکه‌های عصبی پیش‌رونده با اندازه متوسط به بالا تا چند صد وزن می‌باشد. الگوریتم پس انتشار خطا، وزن‌های شبکه و مقادیر بایاس را در جهتی تغییر می‌دهد که تابع عملکرد با سرعت بیش‌تری کاهش یابد [۲۲].

نرون‌ها می‌توانند از توابع محرک متفاوتی برای تولید خروجی استفاده کنند. از رایج‌ترین آن‌ها می‌توان به توابع لگاریتم سیگموئیدی، تانژانت سیگموئیدی و تابع محرک خطی اشاره کرد. شکل این توابع در شکل‌های ۲ تا ۴ آمده است. این توابع در لایه‌های مختلف شبکه عصبی استفاده می‌شوند.

در این مقاله با استفاده از روش شبکه عصبی پرسپترون چندلایه پیش‌بینی تقاضای تولید کننده انجام شد. برای مدل‌سازی داده‌ها از یک شبکه پرسپترون چندلایه با مشخصات دو لایه پنهان استفاده شد.

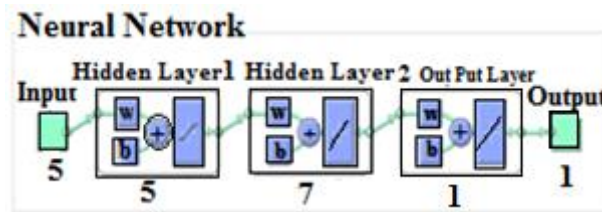


شکل ۴. تابع محرک لگاریتم

شکل ۳. تابع محرک تانژانت

شکل ۲. تابع محرک خطی

با استفاده از کدنویسی در نرم‌افزار MATLAB، داده‌های سری زمانی با توجه به حدس‌های هوشمندانه و تاخیرهای زمانی و وقفه بهینه تعیین شده، آرایش یافتند. برای آموزش شبکه عصبی از الگوریتم لوببرگ - مارکواریت استفاده شد. همچنین از تابع فعالیت تانژانت سیگموئیدی در لایه پنهانی اول و از تابع محرک خطی در لایه پنهانی دوم و لایه خروجی استفاده شد. شکل ۵ این توابع را در لایه‌ها نشان می‌دهد.



شکل ۵. شبکه عصبی مورد استفاده

#### ۴-۴ پیش‌بینی با استفاده از روش میانگین متحرک

این تکنیک حد ما بین روش‌های تقاضای واقعی دور قبل و میانگین ساده است. در روش میانگین متحرک، میانگین یک تعداد از داده‌های واقعی آخرین دوره‌های گذشته، مبنای محاسبه پیش‌بینی خواهد بود. به عبارت دیگر، میانگینی که با استفاده از اطلاعات جدید مرتباً به روز در آورده می‌شود، میانگین متحرک نامیده می‌شود. در این روش داریم:

$$F_t = \frac{A_{t-1} + A_{t-2} + \dots + A_{t-n}}{n} = \frac{1}{n} \sum_{i=1}^n A_{t-i} \quad (4)$$

که در آن:



شماره دور :  $t$

تقاضای واقعی دور  $t - i$  :  $A_{t-i}$

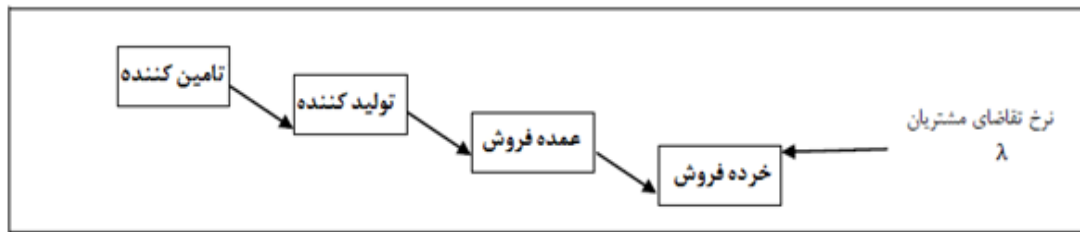
تعداد دور برای میانگین گیری (دوره تناوب) :  $n$

پیش بینی تقاضای دور  $t$  :  $F_t$

## ۵ روش شناسی و فرضیات تحقیق

تحقیق حاضر به بررسی تاثیر کاربرد روش های مختلف پیش بینی در یک زنجیره تامین چند سطحی بر اثر شلاق چرمی می پردازد. این موضوع در بسیاری از تحقیقات پیشین بررسی شده است؛ لیکن در این تحقیق تاثیر کاربرد ترکیبی روش های مختلف پیش بینی بر اثر شلاقی بررسی شده است که با توجه به ماهیت مستقل اجزای زنجیره تامین انطباق بیشتری با واقعیت دارد. برای این منظور، یک زنجیره تامین چهار سطحی شامل یک خرده فروش، یک عمده فروش، یک تولید کننده و یک تامین کننده مدنظر قرار گرفته است. تقاضای چهار سطح زنجیره تامین بدین ترتیب محاسبه شد که در سناریوهای پیش بینی هیچ کدام از سطوح زنجیره مجاز به انتخاب روش مشابهی برای پیش بینی نبودند. با احتساب این فرض ۲۴ (چهار فاکتوریل حالت) سناریوی پیش بینی شکل گرفت که سطوح زنجیره با روش های میانگین متحرک، رگرسیون خطی، هموارسازی نمایی و شبکه عصبی پرسپکترون چندلایه تقاضای هر سطح زنجیره را پیش بینی کردند. تحقیق حاضر نقش اثرات شلاق چرمی را بر زنجیره تامین چهار سطحی مورد بررسی قرار می دهد. برای این منظور یک زنجیره تامین چهار سطحی شامل خرده فروش، عمده فروش، تولید کننده و تامین کننده شبیه سازی شده است. برای شبیه سازی زنجیره تامین، در واقع با نگاهی به فرایند ورود مشتریان به سیستم و ثبت تقاضای آن ها، که نشان دهنده این واقعیت است، فرایند تقاضای کالا فرایندی شمارشی است به خوبی توسط توزیع پواسون نشان داده می شود همین ویژگی نیز باعث شده است تا بیش از نیمی از تحقیقات مرتبط با سیستم های چند سطحی، این توزیع را به عنوان الگوی تقاضا به کار برند. انتخاب این توزیع با توجه به تحقیقات متعدد دیگری صورت گرفته است که از این توزیع به عنوان الگوی تقاضا در زنجیره تامین استفاده کرده اند. این انتخاب ریشه در ماهیت و ویژگی توزیع پواسون در به تصویر کشیدن فرایندهای شمارشی دارد [۱۵].

با توجه به شکل ۶ می توان دریافت که تنها خرده فروش تقاضای خود را بر اساس سفارش های مشتری نهایی پیش بینی می کند و هر یک از سطوح بالاتر، بر اساس میزان سفارش سطح بعدی به پیش بینی اقدام می کنند از این رو سیاست سفارش دهی اجزای زنجیره نیز می تواند بر اثر شلاق چرمی آن تاثیر داشته باشد [۱۷]. به دلیل اینکه خرده فروش پایین ترین سطح زنجیره می باشد، با تقاضای واقعی مشتریان در ارتباط است؛ لذا پیش بینی این سطح از زنجیره بر اساس تقاضای واقعی مشتریان انجام می گیرد. در سطح دوم از زنجیره، عمده فروش با خرده فروش در ارتباط است، از این رو میزان سفارش خرده فروش که با استفاده از روش نقطه سفارش انجام می گیرد به عنوان تقاضای عمده فروش محسوب می گردد. در سطح سوم از زنجیره، تولید کننده با عمده فروش در ارتباط می باشد.



شکل ۶. زنجیره تامین چهار سطحی مورد بررسی

در واقع عمده فروش به عنوان تقاضای این سطح از زنجیره محسوب می‌گردد. در هر دور شبیه‌سازی، تقاضای تصادفی برای ۵۰ دوره از طریق نرم‌افزار متلب ایجاد شده است. شایان ذکر است که در تحقیق حاضر بحث نمونه‌گیری به معنای عام آن در نظر نبوده است و تنها با توجه به روش تجزیه و تحلیل داده‌ها بر اساس تحلیل واریانس، این تعداد بر بهره‌گیری از قضیه حد مرکزی به عنوان یک نمونه بزرگ در نظر گرفته شده است. داده‌های مربوط به تقاضای تصادفی خرده‌فروش در اولین دور شبیه‌سازی در جدول ۳ نشان داده شده است. با توجه به تعریف اثر شلاقی به صورت نسبت واریانس‌ها و برای افزایش واریانس تقاضاها، نرخ تقاضا فرض شده است. همچنین سیاست سفارش‌دهی نیز، به عنوان یک متغیر کنترل، برای کلیه سطوح در نظر گرفته شده است. در کلیه روش‌ها، موجودی ابتدای دوره برابر صفر، زنجیره یکسان و به صورت واحد در نظر گرفته شده و کمبود نیز مجاز است. نتایج حاصل از شبیه‌سازی مساله تحت حالات گوناگون در ادامه ارائه شده است. در بالاترین سطح از زنجیره مورد مطالعه، تولیدکننده با تامین‌کننده در ارتباط است. به عبارتی میزان سفارش تولیدکننده به عنوان تقاضای این سطح از زنجیره محسوب می‌گردد؛ بنابراین تامین‌کننده نیز بر اساس سفارش‌های قبلی تولیدکننده سعی در پیش‌بینی تقاضای دور آینده دارد و در همه سطوح زنجیره تامین سیاست سفارش‌دهی نقطه سفارش در نظر گرفته شد.

### ۵-۱ سیستم نقطه سفارش و مفروضات آن

در مدل نقطه سفارش، با توجه به اینکه هزینه‌ی سفارش‌ها قابل توجه است می‌توان سیاست را بر این اساس بنا نهاد که در شروع هر دوره، در صورتی که موجودی در لحظه صدور سفارش که آن را با  $Q_e$  نشان می‌دهیم از حد معینی بیش‌تر باشد از صدور سفارش خودداری نموده و بررسی مجدد امر را به ابتدای دور بعد موکول کنیم. این حد معین را که در این تحلیل به دنبال آن هستیم،  $q$  می‌نامیم؛ بنابراین، در هر دوره برای مقدار سفارش  $Q$  خواهیم داشت:

$$\begin{cases} Q = Q_m - Q_e & Q_e \leq q \\ Q = 0 & Q_e > q \end{cases} \quad (5)$$

در این رابطه حداکثر موجودی است. ابتدا با توجه به تحقیقاتی که از تعداد زیادی خرده فروش مبنی بر فروش لبنیات شرکت «مانیزان» به عمل آمد، کران بالا و پایین متوسط مصرف روزانه بر حسب کیلوگرم بازه‌ی [۵۲۳ و ۵] انتخاب شد که بر این اساس، اعداد تصادفی تولید شده با پارامتر متغیر در بازه‌ی [۵۲۳ و ۵] تولید شدند. هم چنین برای محاسبه‌ی  $Q_m$  و  $q$  نیاز به مفروضاتی است که در زیر آمده است:

زمان تحویل کالا  $L = 0$  و متوسط تقاضای روزانه (میانگین تقاضا)  $\bar{D} = 14$   
 هزینه مواجهه با کسری بر حسب واحد پول  $S = 3$  و فاصله زمانی بین سفارش‌ها  $T = 1$   
 هزینه سفارش‌دهی بر حسب واحد پول  $C = 4$  و هزینه نگهداری بر حسب واحد پول  $h = 1$   
 انحراف معیار مصرف  $\sigma = 9$

هم چنین:

$$\mu_{T+L} = \bar{D}(L+T) \quad (6) \quad \text{و} \quad Q^* = \sqrt{\frac{2C \times \bar{D}}{h}} \times \sqrt{\frac{h+s}{s}} \quad (7)$$

$$Q_s = Q^* \times \frac{h}{h+s} \quad (8) \quad \text{و} \quad I(\gamma) = \frac{Q_s}{\sigma} \quad (9)$$

$$q = \gamma \times \sigma + \frac{\bar{D} \times T}{2} + \mu \quad (10) \quad \text{و} \quad Q_m = Q^* + \left( q - \frac{\bar{D} \times T}{2} \right) \quad (11)$$

بنابراین با توجه به فرمول‌های (۶) تا (۱۱) که در بالا ذکر گردید و با داشتن مقادیر داده شده خواهیم داشت:

$$\mu_{T+L} = 14, \quad Q^* \approx 13, \quad Q_s = 3/0.5, \quad I(\gamma) = 0/338$$

$$\gamma = 0/13$$

با توجه به جدول نرمال لاس، خواهیم داشت:

$$q \approx 22, \quad Q_m \approx 28$$

بنابراین می‌توان سیستم نقطه سفارش (۲۲ و ۲۸) را در نظر گرفت. برای این منظور، ۳۶ عدد تصادفی با توزیع پواسون با پارامتر [۵۲۳ و ۵] در نظر گرفته شد و سیستم نقطه سفارش (۲۲ و ۲۸) استفاده شد. انتخاب نمونه ۳۶ تایی به این دلیل صورت گرفت که اگر  $n > 30$  باشد، طبق قضیه حد مرکزی از توزیع نرمال پیروی می‌کند. چون روش تجزیه و تحلیل در این پژوهش تحلیل واریانس است. سپس اثر شلاق چرمی طبق رابطه (۱۲) محاسبه خواهد شد:

$$\text{اثر شلاق چرمی} = \frac{\text{واریانس سفارش تامین کننده}}{\text{واریانس تقاضای خرده فروش}} \quad (12)$$

بنابراین،  $Q_m$  و  $q_i$  به ترتیب برابر ۲۸ و ۲۲ در نظر گرفته می‌شود. در دور اول، موجودی ابتدای دوره برابر میزان تقاضای این دور است. هم چنین موجودی انتهای دوره  $i$  برابر موجودی ابتدای دوره  $i+1$  می‌باشد؛ بنابراین دو حالت ممکن است رخ دهد:

الف) اگر حاصل تفاضل موجودی ابتدای دوره و تقاضا بزرگ‌تر یا مساوی  $q_i$  باشد، در این حالت سفارشی داده نمی‌شود و موجودی انتهای دوره برابر است با تفاضل موجودی ابتدای دوره با تقاضا. به عنوان نمونه در دور دوم از جدول ۴ تقاضای خرده‌فروش برابر  $3/69$  است و چون موجودی ابتدای دوره برابر ۲۸ است؛ بنابراین داریم:

$$q_i > Q_m - Q_e = 24/31 - 3/69 = 28 - 3/69$$

در چنین شرایطی سفارشی داده نمی‌شود.

ب) اگر حاصل تفاضل موجودی ابتدای دوره و تقاضا کم‌تر از  $q_i$  باشد، در این صورت سفارش برابر  $Q_m - Q_e$  خواهد بود. به عنوان نمونه در دور سوم تقاضای خرده‌فروش از جدول ۴ داریم:

$$q_i < Q_m - Q_e = 24/31 - 3/82 = 20/49 - 28 - 20/49 = 7/51$$

بنابراین به اندازه  $7/51$  سفارش داده می‌شود. بقیه‌ی ستون‌ها نیز به همین شکل محاسبه شده‌اند.

۳۶ عدد تصادفی با توزیع پواسون با پارامتر متغیر که از توزیع یکنواخت در بازه‌ی [۲۳ و ۵] پیروی می‌کند، تولید شده است. مقادیر اعداد تصادفی تولید شده در جدول ۳ آورده شده است.

در ادامه بررسی اثر شلاق چرمی در زنجیره‌ی تامین ۴ سطحی خواهیم پرداخت. سناریوی ۱ برای نمونه ارایه می‌شود و از بیان نحوه محاسبات مربوط به سایر سناریوها صرف نظر می‌گردد. در جدول ۸ نتایج مقادیر مختلف اثر شلاق چرمی ۲۴ سناریو نشان داده شده است.

جدول ۳. داده‌های تقاضای تصادفی برای تقاضای متغیر

دوره	تقاضای تصادفی	دوره	تقاضای تصادفی	دوره	تقاضای تصادفی
۱	۳	۱۳	۴	۲۵	۱۱
۲	۲	۱۴	۴	۲۶	۵
۳	۳	۱۵	۳	۲۷	۱۰
۴	۳	۱۶	۲	۲۸	۷
۵	۶	۱۷	۲	۲۹	۶
۶	۴	۱۸	۴	۳۰	۴
۷	۳	۱۹	۷	۳۱	۱۰
۸	۲	۲۰	۸	۳۲	۹
۹	۷	۲۱	۷	۳۳	۷
۱۰	۱۰	۲۲	۹	۳۴	۸
۱۱	۷	۲۳	۱۰	۳۵	۴
۱۲	۷	۲۴	۶	۳۶	۸

### ۵-۲ بررسی اثر شلاق چرمی در زنجیره‌ی تامین چهار سطحی در سناریوی ۱

همان‌طور که در جدول ۲ ذکر شده است، در این سناریو خرده‌فروش، عمده‌فروش، تولیدکننده و تامین‌کننده به ترتیب از روش‌های رگرسیون، هموارسازی نمایی، شبکه عصبی و میانگین متحرک، برای پیش‌بینی استفاده می‌کنند.

### ۵-۲-۱ پیش‌بینی تقاضای سطح خرده‌فروش با استفاده از روش رگرسیون

با توجه به داده‌های تقاضای تصادفی، ابتدا تقاضای خرده‌فروش با استفاده از رگرسیون پیش‌بینی می‌شود سپس با توجه به مدل ارایه شده، میزان سفارش و انبار محاسبه می‌گردد.

جدول ۴. تقاضا، سفارش و انبار خرده‌فروش با روش رگرسیون

دوره موجودی انتهای دوره	سفارش	تقاضا	موجودی ابتدای دوره	دوره	موجودی انتهای دوره	سفارش	تقاضا	موجودی ابتدای دوره	دوره
۲۸/۰۰	۱۱/۷۸	۵/۹۶	۲۲/۱۸	۱۹	۲۸/۰۰	۲۸	۳/۵۶	۳/۵۶	۱
۲۸/۰۰	۶/۰۹	۶/۰۹	۲۸/۰۰	۲۰	۲۴/۳۱	۰/۰۰	۳/۶۹	۲۸	۲
۲۸/۰۰	۶/۲۲	۶/۲۲	۲۸/۰۰	۲۱	۲۸/۰۰	۷/۵۱	۳/۸۲	۲۴/۳۱	۳
۲۸/۰۰	۶/۳۶	۶/۳۶	۲۸/۰۰	۲۲	۲۴/۰۴	۰/۰۰	۳/۹۶	۲۸	۴
۲۸/۰۰	۶/۴۹	۶/۴۹	۲۸/۰۰	۲۳	۲۸/۰۰	۸/۰۴	۴/۰۹	۲۴/۰۴	۵
۲۸/۰۰	۶/۶۲	۶/۶۲	۲۸/۰۰	۲۴	۲۳/۷۸	۰/۰۰	۴/۲۲	۲۸	۶
۲۸/۰۰	۶/۷۶	۶/۷۶	۲۸/۰۰	۲۵	۲۸/۰۰	۸/۵۸	۴/۳۶	۲۳/۷۸	۷
۲۸/۰۰	۶/۸۹	۶/۸۹	۲۸/۰۰	۲۶	۲۳/۵۱	۰/۰۰	۴/۴۹	۲۸/۰۰	۸
۲۸/۰۰	۷/۰۲	۷/۰۲	۲۸/۰۰	۲۷	۲۸/۰۰	۹/۱۱	۴/۶۲	۲۳/۵۱	۹
۲۸/۰۰	۷/۱۶	۷/۱۶	۲۸/۰۰	۲۸	۲۳/۲۴	۰/۰۰	۴/۷۶	۲۸/۰۰	۱۰
۲۸/۰۰	۷/۲۹	۷/۲۹	۲۸/۰۰	۲۹	۲۸/۰۰	۹/۶۴	۴/۸۹	۲۳/۲۴	۱۱
۲۸/۰۰	۷/۴۲	۷/۴۲	۲۸/۰۰	۳۰	۲۲/۹۸	۰/۰۰	۵/۰۲	۲۸/۰۰	۱۲
۲۸/۰۰	۷/۵۶	۷/۵۶	۲۸/۰۰	۳۱	۲۸/۰۰	۱۰/۱۸	۵/۱۶	۲۲/۹۸	۱۳
۲۸/۰۰	۷/۶۹	۷/۶۹	۲۸/۰۰	۳۲	۲۲/۷۱	۰/۰۰	۵/۲۹	۲۸/۰۰	۱۴
۲۸/۰۰	۷/۸۲	۷/۸۲	۲۸/۰۰	۳۳	۲۸/۰۰	۱۰/۷۱	۵/۴۲	۲۲/۷۱	۱۵
۲۸/۰۰	۷/۹۶	۷/۹۶	۲۸/۰۰	۳۴	۲۲/۴۴	۰/۰۰	۵/۵۶	۲۸/۰۰	۱۶
۲۸/۰۰	۸/۰۹	۸/۰۹	۲۸/۰۰	۳۵	۲۸/۰۰	۱۱/۲۴	۵/۶۹	۲۲/۴۴	۱۷
۲۸/۰۰	۸/۲۲	۸/۲۲	۲۸/۰۰	۳۶	۲۲/۱۸	۰/۰۰	۵/۸۲	۲۸/۰۰	۱۸

نحوه محاسبه اعداد جدول ۴ به این صورت است که ابتدا با توجه به داده‌های تقاضای تصادفی جدول ۳، معادله رگرسیون خطی  $Y = 3/442 + 0/1333X$  به دست می‌آید. حال به عنوان نمونه، دور ۱۶ جدول ۴ را حل می‌کنیم: تقاضا از معادله رگرسیون و با جایگزینی  $X = 16$  عدد  $5/56$  به دست می‌آید. با توجه به اینکه موجودی دور قبل (دور ۱۵) برابر ۲۸ می‌باشد اگر تقاضا (۵/۵۶) را از موجودی کم کنیم، موجودی انتهای دوره به دست می‌آید که برابر است با ۲۲/۴۴ و چون از  $q$  بزرگ‌تر است؛ بنابراین سفارشی نخواهیم داشت.

### ۵-۲-۲ پیش‌بینی تقاضای سطح عمده فروش با استفاده از روش هموارسازی نمایی

با استفاده از سفارش خرده‌فروش، تقاضای عمده‌فروش از روش هموارسازی نمایی و ضریب  $\alpha = 0/33$  پیش‌بینی می‌شود. سپس میزان سفارش و انبار با توجه به مدل ارائه شده محاسبه می‌گردد.

جدول ۵. تقاضا، سفارش و انبار عمده فروش با روش هموارسازی نمایی

دور	موجودی ابتدای دوره	تقاضا	سفارش	موجودی انتهای دوره	دور	موجودی ابتدای دوره	تقاضا	سفارش	موجودی انتهای دوره
۱	۷/۲۶	۷/۲۶	۲۸/۰۰	۲۸/۰۰	۱۹	۲۸/۰۰	۴/۳۵	۰/۰۰	۲۳/۶۵
۲	۲۸/۰۰	۱۴/۱۰	۱۴/۱۰	۲۸/۰۰	۲۰	۲۳/۶۵	۶/۸۰	۱۱/۱۵	۲۸/۰۰
۳	۲۸/۰۰	۹/۴۵	۹/۴۵	۲۸/۰۰	۲۱	۲۸/۰۰	۶/۵۷	۶/۵۷	۲۸/۰۰
۴	۲۸/۰۰	۸/۸۱	۸/۸۱	۲۸/۰۰	۲۲	۲۸/۰۰	۶/۴۵	۶/۴۵	۲۸/۰۰
۵	۲۸/۰۰	۵/۹۰	۰/۰۰	۲۲/۱۰	۲۳	۲۸/۰۰	۶/۴۲	۶/۴۲	۲۸/۰۰
۶	۲۲/۱۰	۶/۶۱	۱۲/۵۱	۲۸/۰۰	۲۴	۲۸/۰۰	۶/۴۴	۶/۴۴	۲۸/۰۰
۷	۲۸/۰۰	۴/۴۳	۰/۰۰	۲۳/۵۷	۲۵	۲۸/۰۰	۶/۵۰	۶/۵۰	۲۸/۰۰
۸	۲۳/۵۷	۵/۸۰	۱۰/۲۳	۲۸/۰۰	۲۶	۲۸/۰۰	۶/۵۹	۶/۵۹	۲۸/۰۰
۹	۲۸/۰۰	۳/۸۸	۰/۰۰	۲۴/۱۲	۲۷	۲۸/۰۰	۶/۶۹	۶/۶۹	۲۸/۰۰
۱۰	۲۴/۱۲	۵/۶۱	۹/۴۹	۲۸/۰۰	۲۸	۲۸/۰۰	۶/۸۰	۶/۸۰	۲۸/۰۰
۱۱	۲۸/۰۰	۳/۷۶	۰/۰۰	۲۴/۲۴	۲۹	۲۸/۰۰	۶/۹۲	۶/۹۲	۲۸/۰۰
۱۲	۲۴/۲۴	۵/۷۰	۹/۴۶	۲۸/۰۰	۳۰	۲۸/۰۰	۷/۰۴	۷/۰۴	۲۸/۰۰
۱۳	۲۸/۰۰	۳/۸۲	۰/۰۰	۲۴/۱۸	۳۱	۲۸/۰۰	۷/۱۷	۷/۱۷	۲۸/۰۰
۱۴	۲۴/۱۸	۵/۹۲	۹/۷۴	۲۸/۰۰	۳۲	۲۸/۰۰	۷/۲۹	۷/۲۹	۲۸/۰۰
۱۵	۲۸/۰۰	۳/۹۶	۰/۰۰	۲۴/۰۴	۳۳	۲۸/۰۰	۷/۴۲	۷/۴۲	۲۸/۰۰
۱۶	۲۴/۰۴	۶/۱۹	۱۰/۱۶	۲۸/۰۰	۳۴	۲۸/۰۰	۷/۵۶	۷/۵۶	۲۸/۰۰
۱۷	۲۸/۰۰	۴/۱۵	۰/۰۰	۲۳/۸۵	۳۵	۲۸/۰۰	۷/۶۹	۷/۶۹	۲۸/۰۰
۱۸	۲۳/۸۵	۶/۴۹	۱۰/۶۴	۲۸/۰۰	۳۶	۲۸/۰۰	۷/۸۲	۷/۸۲	۲۸/۰۰

اعداد جدول با توجه به توضیحات قسمت قبلی و توضیحات بخش (۳-۱-۲) به دست آمد. به عنوان نمونه تقاضای دور ۱۶ به این صورت است که اعداد سفارش دور ۱۵ جدول (۴) یعنی سفارش خرده فروش و تقاضای دور ۱۵ عمده فروش را در نظر گرفته و با توجه به مقدار ضریب  $\alpha = 0/33$  داریم:

$$Exponential\ Smoothing\ (16) = (0/33 \times 10/71) + ((1 - 0/33) \times 3/96) = 6/19$$

### ۵-۲-۳ پیش‌بینی تقاضای سطح تولیدکننده با استفاده از روش شبکه عصبی

در این پژوهش با استفاده از روش شبکه عصبی پرسپترون چندلایه، پیش‌بینی تقاضای تولیدکننده انجام شد. برای مدل‌سازی داده‌ها از یک شبکه پرسپترون چندلایه با مشخصات دو لایه پنهان استفاده شد. با استفاده از کدنویسی در نرم افزار متلب، داده‌های سری زمانی با توجه به حدس‌های هوشمندانه و تاخیرهای زمانی و وقفه بهینه تعیین

شده، آرایش یافتند. برای آموزش شبکه عصبی از الگوریتم لوبزگ- مارکوارت استفاده شد. همچنین از تابع فعالیت تانژانت سیگموئیدی در لایه پنهانی اول و از تابع محرک خطی در لایه پنهانی دوم و لایه خروجی استفاده شد.

پس از اینکه داده‌های ورودی تاریخی را به نرم افزار متلب داده شد، با استفاده از توابع و تاخیرهای زمانی داده شده نرم افزار متلب ۶۰ درصد داده‌ها را برای آموزش، ۲۰ درصد برای اعتبارسنجی حین آموزش می‌گیرد و برای ۲۰ درصد مابقی آزمون تست را انجام می‌دهد و در نهایت خروجی پیش‌بینی شده را با خروجی مورد انتظار با شاخص میانگین مربعات خطا، مقایسه می‌کند.

**جدول ۶.** تقاضا، سفارش و انبار تولیدکننده با روش شبکه عصبی

دور	موجودی ابتدای دوره	تقاضا	سفارش	موجودی انتهای دوره	دور	موجودی ابتدای دوره	تقاضا	سفارش	موجودی انتهای دوره
۱	۲/۹۵	۲/۹۵	۲۸/۰۰	۲۸/۰۰	۱۹	۲۳/۱۳	۰/۰۷	۰/۰۰	۲۳/۰۶
۲	۲۸/۰۰	۱۱/۵۹	۱۱/۵۹	۲۸/۰۰	۲۰	۲۳/۰۶	۰/۸۹	۰/۰۰	۲۲/۱۷
۳	۲۸/۰۰	۴/۸۶	۰/۰۰	۲۳/۱۴	۲۱	۲۲/۱۷	۰/۵۶	۶/۳۹	۲۸/۰۰
۴	۲۳/۱۴	۱۰/۴۸	۱۵/۳۳	۲۸/۰۰	۲۲	۲۸/۰۰	۱/۰۱	۰/۰۰	۲۶/۹۹
۵	۲۸/۰۰	۰/۰۰	۰/۰۰	۲۸/۰۰	۲۳	۲۶/۹۹	۱/۵۹	۰/۰۰	۲۵/۴۱
۶	۲۸/۰۰	۱۰/۶۳	۱۰/۶۳	۲۸/۰۰	۲۴	۲۵/۴۱	۲/۲۴	۰/۰۰	۲۳/۱۷
۷	۲۸/۰۰	۰/۰۰	۰/۰۰	۲۸/۰۰	۲۵	۲۳/۱۷	۲/۹۲	۷/۷۵	۲۸/۰۰
۸	۲۸/۰۰	۱۰/۴۸	۱۰/۴۸	۲۸/۰۰	۲۶	۲۸/۰۰	۳/۵۷	۰/۰۰	۲۴/۴۳
۹	۲۸/۰۰	۰/۰۰	۰/۰۰	۲۸/۰۰	۲۷	۲۴/۴۳	۴/۱۸	۷/۷۵	۲۸/۰۰
۱۰	۲۸/۰۰	۱۰/۴۷	۱۰/۴۷	۲۸/۰۰	۲۸	۲۸/۰۰	۴/۷۱	۰/۰۰	۲۳/۲۹
۱۱	۲۸/۰۰	۰/۰۰	۰/۰۰	۲۸/۰۰	۲۹	۲۳/۲۹	۵/۱۷	۹/۸۷	۲۸/۰۰
۱۲	۲۸/۰۰	۱۰/۵۰	۱۰/۵۰	۲۸/۰۰	۳۰	۲۸/۰۰	۵/۵۵	۰/۰۰	۲۲/۴۵
۱۳	۲۸/۰۰	۰/۰۰	۰/۰۰	۲۸/۰۰	۳۱	۲۲/۴۵	۰/۰۰	۰/۰۰	۲۲/۴۵
۱۴	۲۸/۰۰	۱۰/۵۴	۱۰/۵۴	۲۸/۰۰	۳۲	۲۲/۴۵	۰/۰۷	۰/۰۰	۲۲/۳۸
۱۵	۲۸/۰۰	۰/۰۰	۰/۰۰	۲۸/۰۰	۳۳	۲۲/۳۸	۰/۸۹	۶/۵۱	۲۸/۰۰
۱۶	۲۸/۰۰	۵/۳۹	۰/۰۰	۲۲/۶۱	۳۴	۲۸/۰۰	۱/۵۹	۰/۰۰	۲۶/۴۱
۱۷	۲۲/۶۱	۳/۱۹	۸/۵۸	۲۸/۰۰	۳۵	۲۶/۴۱	۳/۵۷	۰/۰۰	۲۲/۸۴
۱۸	۲۸/۰۰	۴/۸۷	۰/۰۰	۲۳/۱۳	۳۶	۲۲/۸۴	۴/۱۸	۹/۳۴	۲۸/۰۰

### ۵-۲-۴ پیش‌بینی تقاضای سطح تامین‌کننده با استفاده از روش میانگین متحرک

با استفاده از مقدار سفارش تولیدکننده، از روش میانگین متحرک تقاضای تامین‌کننده پیش‌بینی شد.

جدول ۷. تقاضا، سفارش و انبار تأمین‌کننده با روش میانگین متحرک

دور	موجودی ابتدای دوره	تقاضا	سفارش	موجودی انتهای دوره	دور	موجودی ابتدای دوره	تقاضا	سفارش	موجودی انتهای دوره
۱	۲۸	۲۸/۰۰	۲۸/۰۰	۲۸/۰۰	۱۹	۲۸/۰۰	۲/۱۴	۰/۰۰	۲۵/۸۶
۲	۲۸/۰۰	۱۱/۵۹	۱۱/۵۹	۲۸/۰۰	۲۰	۲۵/۸۶	۲/۱۴	۰/۰۰	۲۳/۷۱
۳	۲۸/۰۰	۰/۰۰	۰/۰۰	۲۸/۰۰	۲۱	۲۳/۷۱	۲/۱۴	۶/۴۳	۲۸/۰۰
۴	۲۸/۰۰	۱۵/۳۳	۱۵/۳۳	۲۸/۰۰	۲۲	۲۸/۰۰	۱/۶۰	۰/۰۰	۲۶/۴۰
۵	۲۸/۰۰	۱۳/۷۳	۱۳/۷۳	۲۸/۰۰	۲۳	۲۶/۴۰	۱/۶۰	۰/۰۰	۲۴/۸۱
۶	۲۸/۰۰	۶/۷۳	۶/۷۳	۲۸/۰۰	۲۴	۲۴/۸۱	۱/۶۰	۰/۰۰	۲۳/۲۱
۷	۲۸/۰۰	۶/۴۹	۶/۴۹	۲۸/۰۰	۲۵	۲۳/۲۱	۱/۶۰	۶/۳۹	۲۸/۰۰
۸	۲۸/۰۰	۶/۴۹	۶/۴۹	۲۸/۰۰	۲۶	۲۸/۰۰	۱/۹۴	۰/۰۰	۲۶/۰۶
۹	۲۸/۰۰	۵/۲۸	۰/۰۰	۲۲/۷۲	۲۷	۲۶/۰۶	۱/۹۴	۰/۰۰	۲۴/۱۲
۱۰	۲۲/۷۲	۵/۲۸	۱۰/۵۵	۲۸/۰۰	۲۸	۲۴/۱۲	۳/۸۸	۷/۷۵	۲۸/۰۰
۱۱	۲۸/۰۰	۵/۲۴	۰/۰۰	۲۲/۷۶	۲۹	۲۸/۰۰	۳/۸۸	۰/۰۰	۲۴/۱۲
۱۲	۲۲/۷۶	۵/۲۴	۱۰/۴۷	۲۸/۰۰	۳۰	۲۴/۱۲	۴/۴۱	۸/۲۸	۲۸/۰۰
۱۳	۲۸/۰۰	۵/۲۴	۰/۰۰	۲۲/۷۶	۳۱	۲۸/۰۰	۴/۴۱	۰/۰۰	۲۳/۵۹
۱۴	۲۲/۷۶	۵/۲۴	۱۰/۴۹	۲۸/۰۰	۳۲	۲۳/۵۹	۲/۴۷	۶/۸۷	۲۸/۰۰
۱۵	۲۸/۰۰	۵/۲۶	۰/۰۰	۲۲/۷۴	۳۳	۲۸/۰۰	۲/۴۷	۰/۰۰	۲۵/۵۳
۱۶	۲۲/۷۴	۵/۲۶	۱۰/۵۲	۲۸/۰۰	۳۴	۲۵/۵۳	۱/۶۳	۰/۰۰	۲۳/۹۰
۱۷	۲۸/۰۰	۲/۶۴	۰/۰۰	۲۵/۳۶	۳۵	۲۳/۹۰	۱/۶۳	۰/۰۰	۲۲/۲۸
۱۸	۲۵/۳۶	۴/۷۸	۷/۴۲	۲۸/۰۰	۳۶	۲۲/۲۸	۱/۶۳	۷/۳۵	۲۸/۰۰

با توجه به اعداد ستون سفارش‌های تولیدکننده از جدول ۶ و در نظر گرفتن طول دوره تناوب  $n=4$  بر اساس روش میانگین متحرک، اعداد ستون تقاضای جدول ۷ محاسبه گردید. به عنوان نمونه در دور ۱۶ خواهیم داشت:

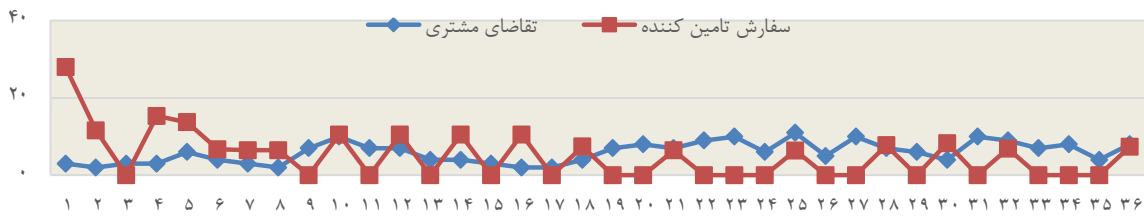
$$Moving\ Average\ (16) = \frac{10/5 + 0 + 10/54 + 0}{4} = 10/26$$

سپس اثر شلاق چرمی سناریوی ۱ محاسبه شد. برای این منظور از رابطه (۱۲) استفاده گردید:

واریانس سفارش تأمین‌کننده:  $39/18$  و واریانس تقاضای خرده‌فروش:  $1/97$  و اثر شلاق چرمی سناریوی ۱:  $19/86$ .

شکل ۷ روند تغییرات تقاضای پایین زنجیره و سفارش تأمین‌کننده را نشان می‌دهد





شکل ۷. روند تغییرات تقاضای مشتری و سفارش تامین کننده

اثر شلاقی ۲۴ سناریو در جدول ۸ آمده است.

جدول ۸. مقادیر اثر شلاق چرمی سناریوهای مختلف پیش‌بینی

سناریو	اثر شلاقی	سناریو	اثر شلاقی	سناریو	اثر شلاقی
۱	۱۹/۸۶	۹	۴۰/۹۹	۱۷	۱۵۳/۷۴
۲	۵۵/۳۱	۱۰	۷۵/۱۵	۱۸	۶۶/۷۶
۳	۴۰/۳۰	۱۱	۲۷/۷۳	۱۹	۲۸/۳۵
۴	۷۶/۷۷	۱۲	۲۶/۵۰	۲۰	۳۳/۵۱
۵	۴۰/۶۲	۱۳	۲/۲۴	۲۱	۲۳/۳۴
۶	۴۶/۹۹	۱۴	۳۶/۴۴	۲۲	۳۶/۰۰
۷	۲۷/۴۵	۱۵	۶۵/۰۰	۲۳	۱۸/۴۶
۸	۱۶/۲۷	۱۶	۴/۷۷	۲۴	۲۶/۶۵

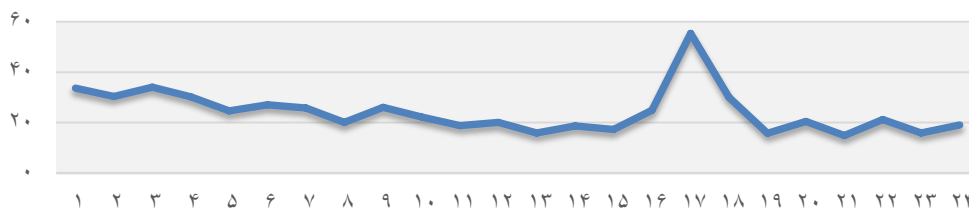
### ۶ تجزیه و تحلیل نتایج و معرفی الگوی برتر

نتایج ارایه شده در قسمت قبل در واقع نتایج حاصل از تجزیه و تحلیل یک مجموعه از داده‌های تصادفی تولید شده تحت سناریوهای مختلف پیش‌بینی را نشان می‌دهد. در این تحقیق و برای مقایسه اثر شلاق نسبت به چرمی حاصل از شش سناریوی مختلف، با استفاده از نرم افزارهای MATLAB و EXCEL نسبت به شبیه‌سازی فرآیند فوق در ۵۰ دور اقدام گردید. نحوه انجام شبیه‌سازی به این صورت است که از نرم افزار MATLAB برای تولید اعداد تصادفی طبق توزیع پواسون استفاده شده است. سپس منطق زنجیره‌تامین مورد نظر در نرم افزار EXCEL طراحی شده است و اعداد تصادفی در خصوص میزان تقاضا به عنوان ورودی در الگوی طراحی شده وارد شده و الگو به اجرا در آمده است. نهایتاً طبق تعریف اثر شلاق چرمی نسبت محاسبه این اثر در هر یک از آزمایش‌ها اقدام شده است. سپس با توجه به نتایج، میانگین هر یک از ۲۴ سناریو را که هر کدام ۵۰ بار شبیه‌سازی شده‌اند، محاسبه شد که در شکل ۸ نشان داده شده است.

در ادامه تحقیق به آزمون این فرض پرداخته شده است که "آیا میانگین اثر شلاق چرمی سناریوهای مختلف پیش‌بینی تفاوت معنی‌دار با یکدیگر دارند یا خیر؟" در واقع این تحقیق به دنبال آزمون فرض زیر است:

$$\begin{cases} H_0 : \mu_1 = \mu_2 = \mu_3 = \mu_4 = \mu_5 = \mu_6 = \dots = \mu_{24} \\ H_1 : \mu_i \neq \mu_j, \forall i, j \in (1, 2, 3, \dots, 24), i \neq j \end{cases}$$

سپس میانگین هر یک از این ۲۴ سناریو که ۵۰ بار شبیه‌سازی شده‌اند، محاسبه شد که شکل ۸ میانگین اثر شلاقی ۵۰ دور شبیه‌سازی سناریوهای مختلف را نشان می‌دهد. همان‌طور که در شکل ۸ مشخص است، سناریوهای شماره ۲۱ دارای کم‌ترین اثر شلاق چرمی است که بهترین سناریو می‌باشد. بیش‌ترین اثر شلاق چرمی نیز مربوط به سناریوی شماره (۱۷) می‌باشد.



شکل ۸. میانگین اثر شلاق چرمی ۵۰ دور شبیه‌سازی شده سناریوهای مختلف در شرایط تقاضای متغیر

برای آزمون فرض فوق با توجه به داده‌های شبیه‌سازی شده، از روش تحلیل واریانس تک عاملی با استفاده از نرم افزار SPSS 19 استفاده شده است. نتایج این آزمون در جدول ۹ نشان داده شده است:

جدول ۹. نتایج تحلیل واریانس

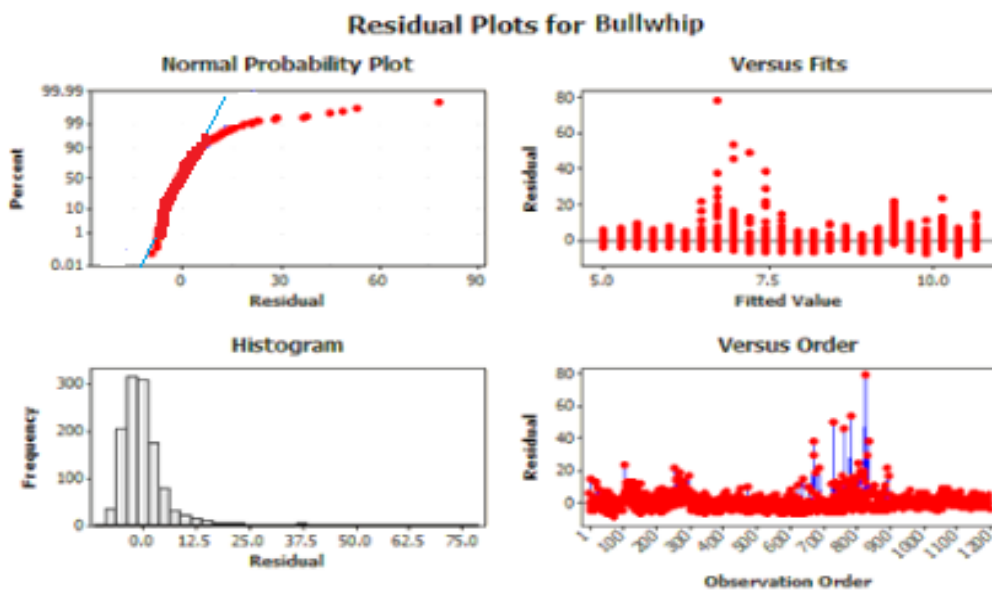
#### ANOVA

	Sum of Squares	df	Mean Square	F	Sig.
Between Groups	89249.056	23	3880.394	3.905	.000
Within Groups	1168736.290	1176	993.823		
Total	1257985.346	1199			

همان‌طور که نتایج تحلیل واریانس نشان می‌دهد، فرض صفر برابری میانگین اثر شلاق چرمی در ۲۴ سناریوی پیشنهادی در سطح اطمینان ۹۵٪ پذیرفته نمی‌شود و می‌توان گفت که اختلاف معناداری میان سناریوهای مختلف وجود دارد.

آخرین مساله مربوط به بررسی صحت فرضیات الگو تحلیل واریانس می‌باشد. در واقع روش تحلیل واریانس مبتنی بر فرضیاتی است که برقرار نبودن آن باعث بی‌اعتباری نتایج می‌شود. فرضیات اساسی تحلیل واریانس عبارتند از: آن که خطاهای الگو متغیرهای تصادفی مستقل برخوردار از توزیع نرمال با میانگین صفر و واریانس مشترک هستند. این فرضیات در شکل ۹ بررسی شده است. در این شکل، اولین نمودار (گوشه سمت چپ - بالا)، نمودار احتمال نرمال مانده‌هاست که نشان می‌دهد مانده‌ها با تقریب رضایت‌بخشی از توزیع نرمال برخوردارند. نمودار احتمال نرمال روشی ترسیمی برای بررسی نرمال بودن مجموعه‌ای از داده‌ها است که مشاهدات را در برابر فراوانی تجمعی آن‌ها در صفحه‌ای با عنوان صفحه احتمال نرمال ترسیم می‌نماید. اگر مشاهدات در این صفحه حول یک خط مستقیم متراکم باشد، نشان‌دهنده نرمال بودن مجموعه داده‌های موردنظر است. همان‌طور که ملاحظه می‌شود، مانده‌های تحلیل واریانس با درصد بسیار خوبی حول خط مستقیم در

نمودار احتمال نرمال متراکم شده است که گواهی بر نرمال بودن مانده‌ها می‌باشد. در خصوص برابری واریانس خطاها نیز از نمودار مانده‌ها نسبت به مقادیر برازش شده (گوشه سمت راست - بالا) استفاده می‌شود. اگر این نمودار الگوی غیر تصادفی مشخصی را از خود نشان ندهد، حاکی از برابری واریانس خطاها می‌باشد. همان طور که در نمودار مورد نظر ملاحظه می‌گردد، در آزمون حاضر این نمودار گویای ثابت بودن واریانس خطاهاست. آخرین نمودار (گوشه سمت راست - پایین) نیز نمودار مانده‌ها نسبت به زمان جمع‌آوری داده‌ها را نشان می‌دهد که حاکی از الگویی تصادفی است. در واقع این نمودار نیز نباید نشان‌دهنده هیچ گونه الگوی مشخصی نظیر روند، سیکل و ... باشد که این شرایط در نمودار شکل ۹ برقرار است و نشان‌دهنده تصادفی بودن جمع‌آوری داده‌ها می‌باشد. این شیوه‌ها در کتاب مونتگومری به طور کامل ارایه شده است [۲۳].



شکل ۹. بررسی تحلیل فرضیات واریانس

بر این اساس در تحقیق حاضر فرضیات تحلیل واریانس نیز برقرار و نتایج آن معتبر می‌باشد.

## ۷ نتیجه‌گیری و پیشنهادها

تحقیق حاضر به بررسی تاثیر کاربرد روش‌های متفاوت پیش‌بینی در سطوح مختلف زنجیره تامین بر اثر شلاق چرمی در شرایط تقاضای متغیر اختصاص داشت. بر این اساس در تحقیق حاضر یک زنجیره تامین چهار سطحی در نظر گرفته شده است که هر یک از اجزای آن یکی از روش‌های شبکه عصبی پرسپترون چند لایه، میانگین متحرک، هموارسازی نمایی و رگرسیون خطی را مورد استفاده قرار می‌دادند. با توجه به فرضیات بیان شده مساله، از طریق ۵۰ شبیه‌سازی سری تقاضای تصادفی برخوردار از یک توزیع پواسون تولید و تحت سناریوهای مختلف (جدول ۲) اثر شلاق چرمی آن برآورد گردید (مجموعاً ۱۸۰۰ آزمایش شبیه‌سازی شده است). در نهایت مقایسه‌های انجام شده نشان داد که تحت فرضیات مساله، بهترین ترکیب روش‌های پیش‌بینی (از پایین به بالای زنجیره) شامل روش‌های میانگین متحرک، هموارسازی نمایی، شبکه عصبی و رگرسیون خطی (سناریوی ۲۱) می‌باشد؛ یعنی اگر خرده‌فروش، عمده‌فروش، تولیدکننده و تامین‌کننده به ترتیب از این روش‌ها استفاده کنند، اثر

شلاق چرمی کم‌تر خواهد بود. ضمن آن که بدترین ترکیب نیز سناریوی شماره ۱۷ می‌باشد. از این رو روش مورد استفاده در تحقیق حاضر را می‌توان به عنوان الگویی برای تصمیم‌سازی صحیح مدیران صنایع در زنجیره‌های تأمین به کار برد. در واقع این الگو می‌تواند رویکردی برای تحلیل سناریوهای مختلف در زنجیره‌های تأمین به شمار آید. وجود عوامل متعدد تأثیرگذار بر عملکرد زنجیره‌های تأمین، بررسی تحلیلی آن‌ها در چارچوب الگوهای برنامه‌ریزی ریاضی را دشوار می‌سازد. با وجود این تحلیل آماری و تجربی زنجیره‌های تأمین چند سطحی در چارچوب طرح‌های آزمایشی طراحی شده است و به طور منطقی می‌تواند گزینه مناسبی برای تجزیه و تحلیل تأثیر تصمیمات بر شاخص‌های عملکرد زنجیره‌های تأمین باشد. روش‌شناسی مورد استفاده در تحقیق حاضر یک الگوی پیشنهادی و علمی برای چنین مطالعاتی به شمار می‌رود. بهره‌گیری از مبانی طراحی آماری آزمایش‌ها در ترکیب با شبیه‌سازی و تجزیه و تحلیل نتایج با روش‌های تحلیل واریانس را می‌توان جنبه متمایز روش‌شناسی مورد استفاده در این مطالعه دانست. برخی محققان در مطالعات خود تأثیر روش‌های پیش‌بینی بر اثر شلاقی را مورد بررسی قرار داده‌اند که مواردی از آن‌ها در مرور ادبیات این مقاله اشاره شده است. برای مثال نجفی و زنجیرانی فراهانی (۱۳۸۶) در بررسی تأثیر روش‌های پیش‌بینی میانگین متحرک، هموارسازی نمایی و رگرسیون در یک زنجیره چهار سطحی با سه الگوی تقاضا، از آزمون مقایسات زوجی برای تحلیل نتایج خود استفاده نموده‌اند. هم چنین رضوی و همکاران (۱۳۹۱) و لطفی و همکاران (۱۳۹۴) به بررسی اثر شلاق چرمی در زنجیره‌تأمین با استفاده از روش سیستم دو ظرفی پرداخته‌اند و هم چنین تقاضا را ثابت فرض کرده‌اند. به عنوان پیشنهادی برای تحقیقات آتی در مطالعه‌ای دیگر، محققان می‌توانند زنجیره‌های متفاوتی در نظر بگیرند یا به تأثیر تقاضای متغیر بر ترکیب روش‌های پیش‌بینی در زنجیره‌ی تأمین چند سطحی با روش سفارش‌دهی متفاوتی بپردازند. در این تحقیق فرض شد که سطوح مختلف از روش‌های پیش‌بینی یکسانی استفاده نکنند که می‌توان از روش‌های یکسان در سطوح مختلف استفاده نمود. در این پژوهش از چهار روش پیش‌بینی استفاده شد که محققان می‌توانند از روش‌های پیش‌بینی دیگری استفاده کنند.

## منابع

- [۲] امین طهماسبی، حمزه، راهب، مانده، جعفریه، سحر (۱۳۹۷). ارایه و حل یک مدل بهینه‌سازی سبز در زنجیره‌تأمین حلقه بسته باهدف افزایش سود و کاهش مشکلات زیست‌محیطی با در نظر گرفتن دوره ضمانت شده محصول. تحقیق در عملیات در کاربردهای آن. ۱۵ (۳)، ۴۴-۲۷.
- [۴] جعفری اسکندری، میثم، مقدم شیلو، ندا (۱۳۹۸). طراحی یک شبکه زنجیره‌تأمین حلقه بسته چند محصولی احتمالی با در نظر گرفتن تخفیف و حل به کمک الگوریتم کرم شب تاب با رمزگشایی بر پایه اولویت، تحقیق در عملیات در کاربردهای آن. ۱۶ (۱)، ۴۹-۲۹.
- [۱۳] نجفی، مهدی، زنجیرانی فراهانی، رضا (۱۳۸۶). مقایسه تأثیر روش‌های مختلف پیش‌بینی بر اثر شلاق گاوی. تهران: پنجمین کنفرانس بین‌المللی مهندسی صنایع. ۳۶-۲۴.
- [۱۴] موحدی، یاسر، ذوالفقاری، روح ا... و جولای، فریبرز (۱۳۹۰). تحلیل نقش عوامل مالی در «اثر شلاقی» در زنجیره‌ی تأمین دو رده‌ای، نشریه‌ی مهندسی صنایع. ۴۵ (۲)، ۲۰۸-۱۹۹.

- [۱۵] اسمعیلی، مریم، تات، رویا و اکبرزاده، مریم (۱۳۹۱). مقایسه تاثیر روش های مختلف پیش بینی بر اثر شلاقی در زنجیره ی تامین. تهران: هشتمین کنفرانس بین المللی مهندسی صنایع. ۱۰۲-۸۸.
- [۱۶] رضوی حاجی آقا، سید حسین، اکرمی، هادی و الفت، لعی (۱۳۹۱). بررسی تاثیر کاربرد ترکیبی روش های پیش بینی بر اثر شلاق چرمی در زنجیره های تامین چند سطحی. بهبود مدیریت. ۶ (۴).
- [۱۷] عظیمی، سید علی (۱۳۹۲). پیش بینی تقاضا در زنجیره ی تامین با استفاده از الگوریتم های یادگیری ماشین (مورد مطالعه شرکت ایران خودرو). پایان نامه ی کارشناسی ارشد. دانشگاه سمنان.
- [۱۸] لطفی، محمد رضا، حامدی طبری، حبیب و حامدی طبری، فاطمه (۱۳۹۴). تاثیر روش های پیش بینی در کاهش اثرات شلاق گاوی، دومین همایش ملی پژوهش های مهندسی صنایع، تهران.
- [۱۹] بدخشان، احسان، پیشوایی، میرسامان (۱۳۹۴). مدل سازی سیستم دینامیکی اثر شلاق چرمی و اثر شلاق چرمی جریان نقدینگی در زنجیره ی تامین واریه ی سیاست های بهبود برای کاهش این اثرات. تهران، دومین کنفرانس بین المللی پژوهش های نوین در مدیریت، اقتصاد و حسابداری.
- [۲۰] گلابی، محمد رضا، آخوند علی، علی محمد و رادمنش، فریدون (۱۳۹۲). مقایسه عملکرد الگوریتم های مختلف شبکه عصبی مصنوعی در مدل سازی بارندگی فصلی مطالعه موردی؛ ایستگاههای منتخب استان خوزستان، نشریه تحقیقات کاربردی علوم جغرافیایی. ۱۳ (۳۰)
- [۲۱] اسفندیاری، فریبا، حسینی اسد، آزادی محمد و حجازی، زهرا (۱۳۸۹). پیش بینی میانگین دمای ماهانه ایستگاه سینوپتیک سنندج با استفاده از مدل شبکه عصبی پرسپترون چند لایه (MLP)، جغرافیا (فصلنامه علمی پژوهشی انجمن جغرافیای ایران. ۴۵-۶۵.
- [۲۲] دهقانی، امیر احمد، پیری، مهدی، حسام، موسی و دهقانی، نوید (۱۳۸۹). تخمین تبخیر روزانه از تشت تبخیر با استفاده از سه شبکه عصبی پرسپترون چند لایه، تابع پایه شعاعی و المانی، مجله پژوهش های حفاظت آب و خاک. ۱۷ (۲).
- [1] Xu, R., Li, X., Song, X., & Liu, G. (2007). The Analysis of Bullwhip Effect in Supply Chain Based on Strategic Alliance Integration and Innovation Orient to E-Society 1, (pp. 452-458): Springer.
- [3] Syntetos, A. A., Babai, Z., Boylan, J. E., Kolassa, S., & Nikolopoulos, K. (2016). Supply chain forecasting: Theory, practice, their gap and the future. *European Journal of Operational Research*, 252(1), 1-26.
- [5] Chen. Frank. Jennifer K. Ryan. David Simchi-Levi (2000). The Impact of Exponential Smoothing Forecasts on the Bullwhip Effect. *NAVAL RESEARCH LOGISTICS*. 47 (4), 269-286.
- [6] Chen. Frank. Zvi Drezner. Jennifer K. Ryan. David Simchi-Levi (2000b). Quantifying the Bullwhip Effect in a Simple Supply Chain: The Impact of Forecasting, Lead Times, and Information. *Management Science*. 46 (3), 436-443.
- [7] Zhang. Xiaolong (2004). The impact of forecasting methods on the bullwhip effect. *International Journal of Production Economics*. 88(1), 15-27.
- [8] Carboneau. Réal. Kevin Laframboise. Rustam Vahidov (2006). Application of Machine learning technique for supply chain demand forecasting. *European Journal of Operational Research*. 184 (3), 1140-1154.
- [9] Bayraktar. Erkan. S.C. Lenny Koh. A. Gunasekaran. Kazim Sari. Ekrem Tatoglu (2008). The role of forecasting on bullwhip effect for E-SCM applications. *International Journal of Production Economics*. 113 (1), 193-204.
- [10] Barlas. Y. B. Gunduz (2011). Demand forecasting and sharing strategies to reduce Fluctuations and bullwhip effect in supply chains. *Journal of the Operational Research Society*, 62, 458-473.
- [11] Buchmeister, B., Friscic, D., & Palcic, I. (2014). Bullwhip effect study in a constrained supply chain. *Procedia Engineering*, 69, 63-71.
- [12] Xun Wang. Stephen M. Disney (2016), The bullwhip effect: Progress, trends and directions, *European Journal of Operational Research* 250, 691-701.
- [23] Montgomery, D. C. (2008). Design and analysis of experiments. John Wiley & Sons.